

QGP粘性係数導出に向けた $N_f=2+1$ QCDエネルギー運動量 テンソル相関関数の研究

谷口裕介

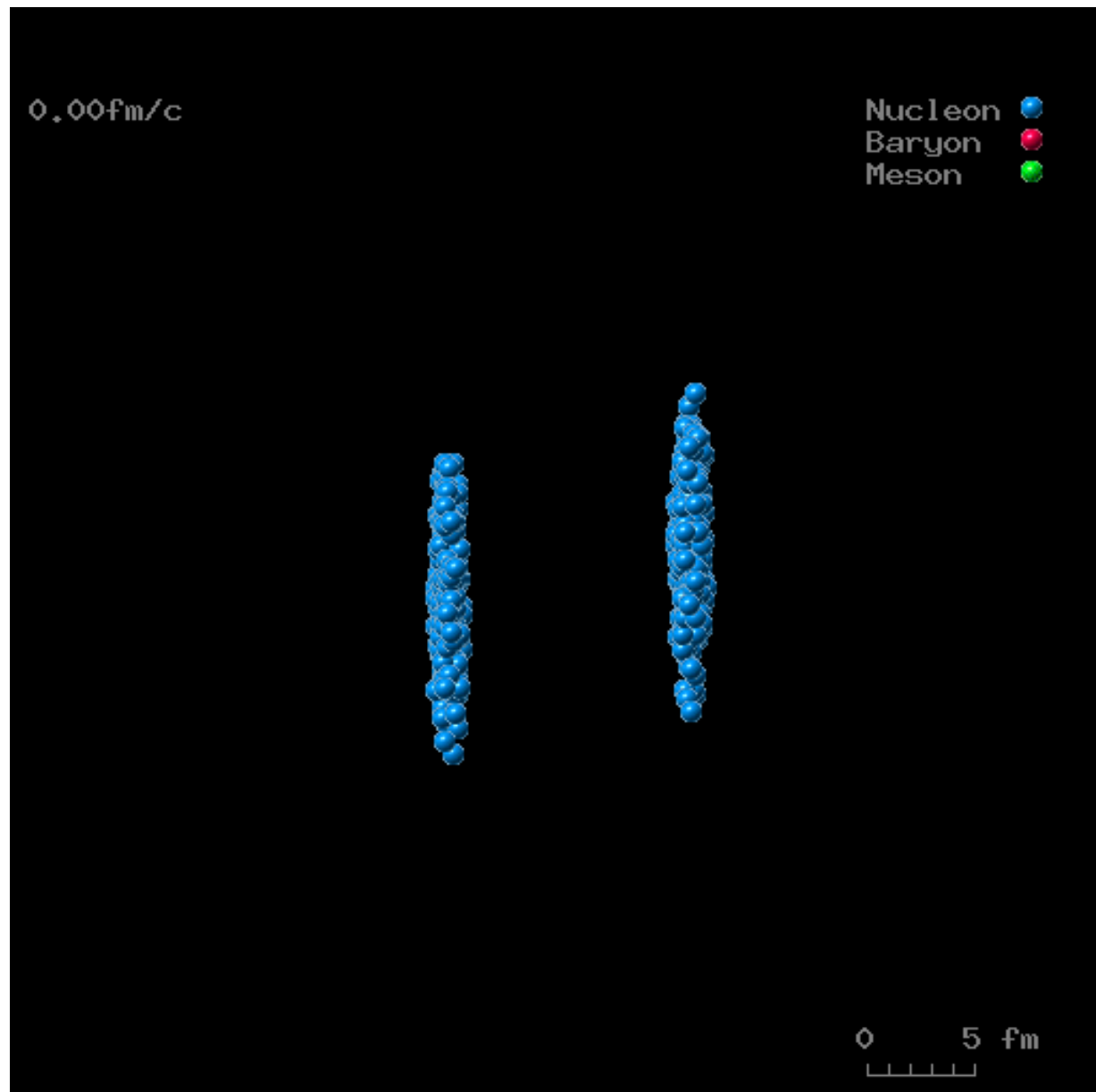
for

WHOT QCD collaboration

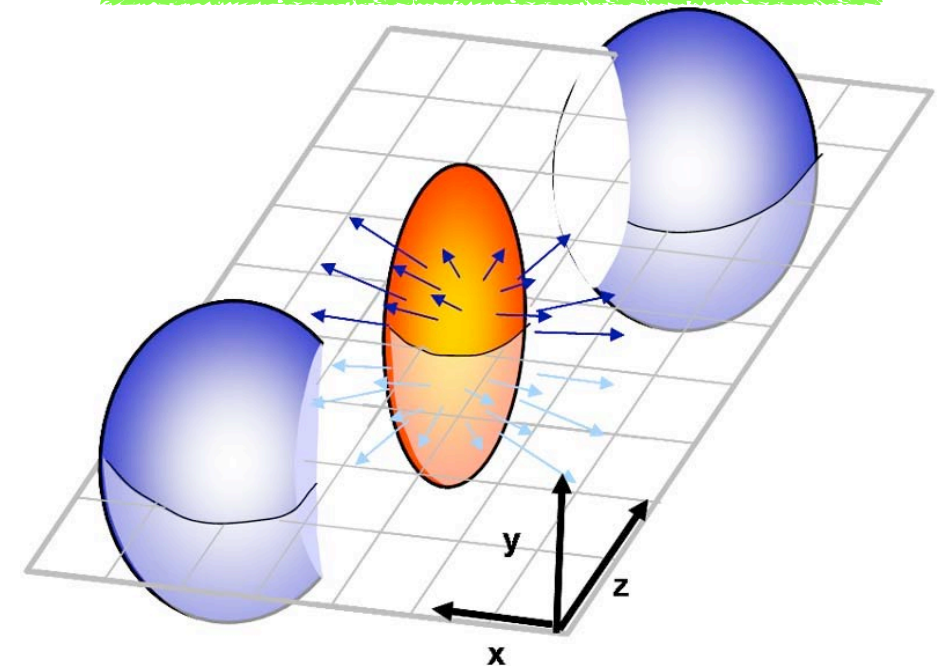
馬場惇, 江尻信司, 金谷和至, 北沢正清, 下条昂礼,
鈴木遊, 鈴木博, Y.T, 梅田貴士

QGPの粘性係数が面白い

- BNL RHIC: 高エネルギー重イオン衝突実験 (2001)



Elliptic flowの発見



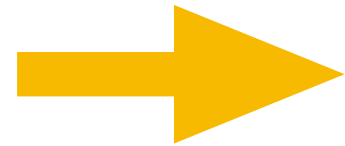
- non central collision
- 一様な黒体輻射ではない
- 粒子の運動量分布に系統的な偏り
- QGP中の集団運動のシグナル

QGPの粘性係数が面白い

QGP中の集団運動

- 強結合現象である

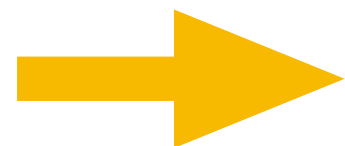
- ボルツマン方程式による記述 **Molnar, Gyulassy(2002)**



衝突項の散乱断面積=50x(摂動論の断面積)

- 強結合相互作用に基づく集団運動 = 流体運動

- 流体モデルによる記述 **Schenke et al(2012)**

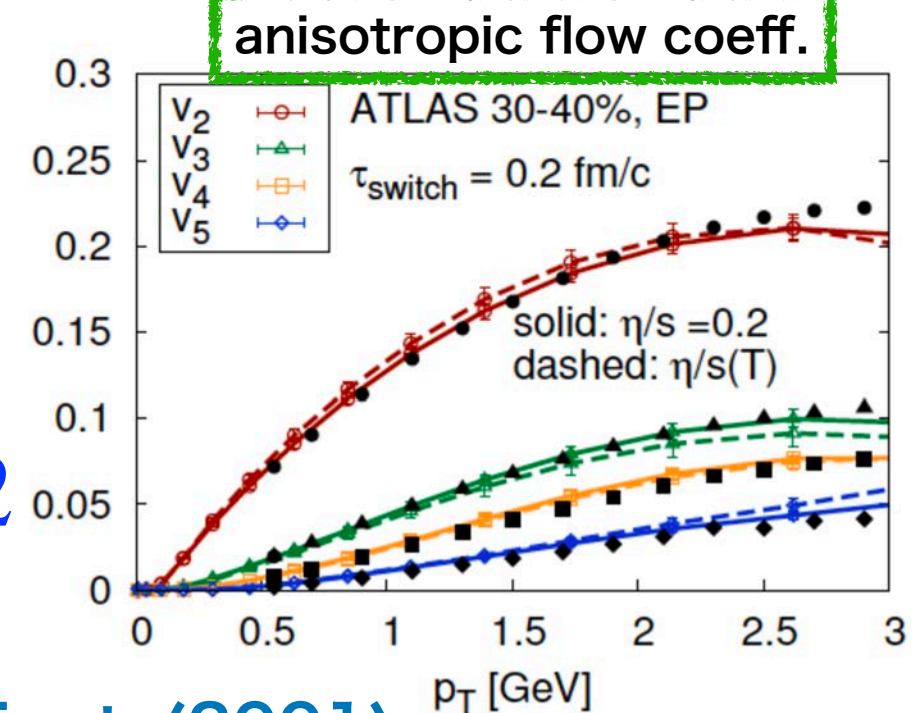


粘性が極めて小さい $\frac{\eta}{s} \sim 0.2$

- AdS/CFTによる予言

Policastro, Son, Starinets(2001)

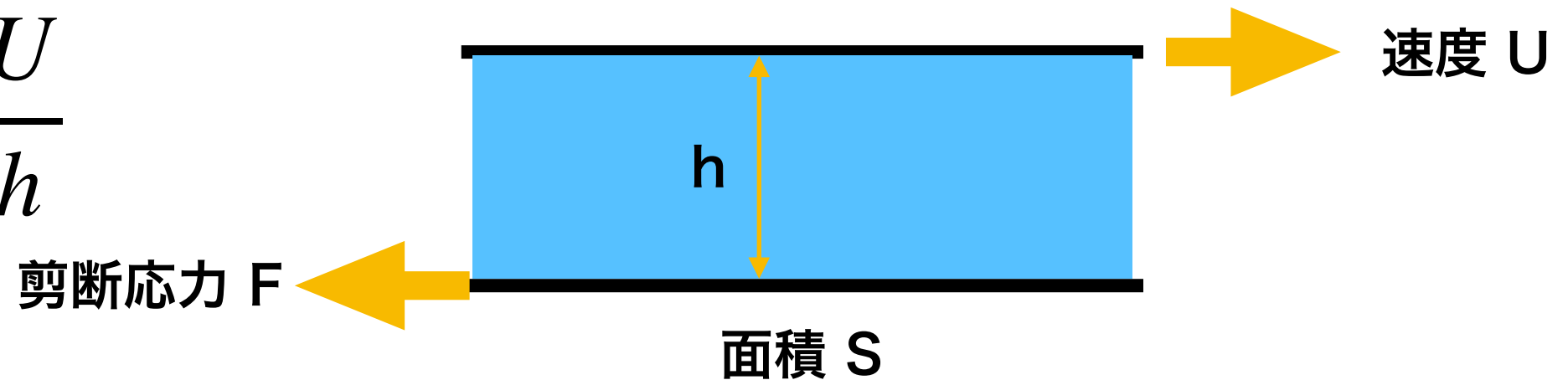
$$\frac{\eta}{s} \sim \frac{1}{4\pi} \sim 0.08$$



場の理論で粘性係数を求めるには？

ずれ粘性: shear viscosity (Wikipedia)

$$\tau = \frac{F}{S} = \eta \frac{U}{h}$$



一般化 $f_{ij} = \mu \frac{\partial U_i}{\partial x_j}$

体積粘性: bulk viscosity (Wikipedia)

$$f_{ii} = \mu \frac{\partial U_i}{\partial x_i}$$

場の理論で粘性係数を求めるには？

場の理論における応力 = エネルギー-運動量テンソル

保存カレント $T_{\mu\nu} = \frac{\delta\mathcal{L}}{\delta\partial^\mu\phi} \partial_\nu\phi - \eta_{\mu\nu}\mathcal{L}$

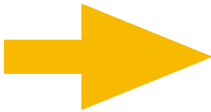
自由ダスト流体系 $T^{\mu\nu} = \rho u^\mu u^\nu$

各成分の意味

$T^{00} = \gamma\rho u^0 = \epsilon$ エネルギー密度

$T^{0i} = \gamma\rho u^i = \pi^i$ 運動量密度

$T^{11} = \pi^1 v^1$ 単位時間にx方向の単位面積を抜け出す運動量密度

運動量の時間変化 = 力  圧力

$T^{12} = \pi^1 v^2$ 単位時間にy方向の単位面積を抜け出す運動量密度

 応力 f^{12}

場の理論で粘性係数を求めるには？

計算すべき量 $\langle T^{12} \rangle_\beta = \eta \partial^1 u^2$

並進対称性の保存カレント

エネルギー 運動量

$$T_{\mu\nu} = \begin{pmatrix} T_{00} & T_{01} & T_{02} & T_{03} \\ T_{10} & T_{11} & T_{12} & T_{13} \\ T_{20} & T_{21} & T_{22} & T_{23} \\ T_{30} & T_{31} & T_{32} & T_{33} \end{pmatrix}$$

剪断応力 圧力

The diagram shows the energy-momentum tensor T_{\mu\nu} as a 4x4 matrix. The top-left element T_{00} is enclosed in an orange dashed box and labeled 'エネルギー' (Energy). The top-right elements T_{01}, T_{02}, and T_{03} are enclosed in a red dashed box and labeled '運動量' (Momentum). The bottom-right elements T_{11}, T_{12}, T_{13}, T_{21}, T_{22}, T_{23}, T_{31}, T_{32}, and T_{33} are enclosed in a blue dashed box and labeled '剪断応力' (Shear stress). The diagonal elements T_{11}, T_{22}, and T_{33} are also enclosed in a green dashed box and labeled '圧力' (Pressure).

しかし格子上では並進対称性が無い

保存カレントでないので繰り返し込みが必要

Gradient flowで解決！

Gradient flowとは？

Gradient Flow

Narayanan-Neuberger(2006)
Lüscher(2009-)

ゲージ場のflow

$$\partial_t A_\mu(t, x) = -\frac{\delta S_{\text{YM}}}{\delta A_\mu} \quad A_\mu(t=0, x) = A_\mu(x)$$

t: flow time, dim=[長さ²]

拡散方程式の一種

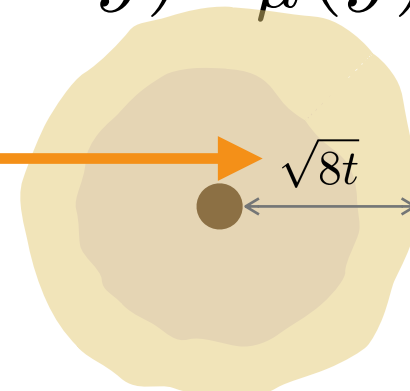
$$\partial_t A_\mu(t, x) = D_\nu G_{\nu\mu}$$

形式解

$$A_\mu(t, x) = \int d^4 y K_t(x-y) A_\mu(y) + \text{interactions}$$

heat kernel

$$K_t(x) = \frac{e^{-x^2/4t}}{(4\pi t)^{D/2}}$$



$\sqrt{8t}$ の範囲で
場をsmear

Gradient flowの復習

神的視点

Gradient Flowは繰り込みスキームの一つ！

Narayanan-Neuberger(2006), Lüscher(2010), Lüscher-Weisz(2011)

flowした場 $A_\mu(t, x)$ で作った演算子は

- 紫外発散が無い
- 同一点特異性が無い
- おまえはもう繰り込まれている

scale: $\sqrt{8t}$

非摂動論的に繰り込まれた演算子

universal

有限繰り込み

$$F_{\mu\nu}^a F_{\mu\nu}^a(x, t)$$

$\overline{\text{MS}}$ scheme

吸収

flow

格子上的演算子

$\text{Re} < 1 - \square >$

格子作用
格子演算子の詳細

$T_{\mu\nu}$ を格子で計算する方法?

- 格子上でVEVを計算する

QCD Lagrangianに現れる項

$$\delta_{\mu\nu} F_{\rho\sigma}^a(x) F_{\rho\sigma}^a(x) \quad \delta_{\mu\nu} \bar{\psi}(x) \overleftrightarrow{D} \psi(x) \quad \delta_{\mu\nu} \bar{\psi}(x) \psi(x)$$

traceを取るとQCD Lagrangianになる項

$$F_{\mu\rho}^a(x) F_{\nu\rho}^a(x) \quad \bar{\psi}(x) \left(\gamma_\mu \overleftrightarrow{D}_\nu + \gamma_\nu \overleftrightarrow{D}_\mu \right) \psi(x)$$

- 繰り返す 1. Matching係数を掛ける

2. 連続極限 $a \rightarrow 0$ を取る

3. $t \rightarrow 0$ 極限を取る

H.Suzuki, PTEP 2013, 083B03 (2013)

Makino-Suzuki, PTEP 2014, 063B02 (2014)

Irrelevant演算子との混合を解消する

$$\{T_{\mu\nu}\}(x, t, a) = \{T_{\mu\nu}\}_{\text{WT}}(x) + ~~t(\text{dim6 operator})~~$$

場の理論で粘性係数を求めるには？

計算すべき量 $\langle T^{12}(x) \rangle_\beta$

しかし熱平衡系では $\langle T^{12} \rangle_\beta = 0$

流体は非平衡

非平衡効果を実時間形式の外場として取り入れる

外場として導入された揺らぎからの緩和過程を見る

$$\langle \Delta \hat{T}_{ij}(t, \vec{x}) \rangle_{\text{neq}} = - \int_0^t ds \int d^3 x' \int_0^\beta d\tau \underbrace{\langle \Delta \hat{T}_{ij}(s - i\tau, \vec{x}) \Delta \hat{T}_{kl}(0, \vec{x}') \rangle_\beta}_{\text{久保の応答関数}} \partial_k u_l(\vec{x}')$$

ずれ粘性

$$\eta = - \int_0^\infty dt \int d^3 x' \int_0^\beta d\tau \langle \Delta \hat{T}_{12}(t - i\tau, \vec{x}) \Delta \hat{T}_{12}(0, \vec{0}) \rangle_\beta$$

- 並進対称性

スペクトル関数

久保の応答関数は格子上では計算できない $\int_0^\beta d\tau \langle \Delta \hat{T}_{ij}(t - i\tau, \vec{x}) \Delta \hat{T}_{kl}(0, \vec{0}) \rangle_\beta$

解析接続を使ってEuclid空間上の相関関数に変換する

間を取り持つもの = スペクトル関数

$$\rho(k) = \int d^4x e^{-ikx} \left\langle [T_{12}(x), T_{12}(0)] \right\rangle_\beta$$

shear viscosity

$$\begin{aligned} \eta &= \int_0^\infty dt \int d^3x' \int_0^\beta d\tau \langle \Delta \hat{T}_{12}(t - i\tau, \vec{x}) \Delta \hat{T}_{12}(0, \vec{0}) \rangle_\beta \\ &= \lim_{k_0 \rightarrow 0} \frac{\rho(k_0, \vec{0})}{2k_0} \end{aligned}$$

格子計算の問題点

スペクトル関数

$$\int d^3x \langle \hat{\phi}(-i\tau, \vec{x}) \hat{\phi}(0, \vec{0}) \rangle_{\beta} = \int_0^{\infty} \frac{dk_0}{2\pi} \frac{\cosh k_0 \left(\tau - \frac{\beta}{2} \right)}{\sinh k_0 \frac{\beta}{2}} \rho(k_0, \vec{0})$$

$$\eta = \lim_{k_0 \rightarrow 0} \frac{\rho(k_0, \vec{0})}{2k_0}$$

τ は離散化された有限個の点 \longrightarrow 病的な逆解き問題

スペクトル関数のモデル化で回避

Breit-Wigner ansatz

$$\frac{\rho(\omega)}{\omega} = \frac{F}{1 + b^2(\omega - \omega_0)^2} + \frac{F}{1 + b^2(\omega + \omega_0)^2}$$

hard thermal loop ansatz

$$\frac{\rho(\omega)}{\omega} = \frac{\frac{\eta}{\pi}}{1 + b^2\omega^2} + \theta(\omega - \omega_0) \frac{A\omega^3}{\tanh \frac{\omega}{4T}}$$

Whats' new?

- Gradient Flowを使って格子上のエネルギー運動量テンソルを定義する

格子上の非摂動論的な繰り込みを与える

- Nf=2+1 QCDへの応用

本邦初公開

- $a \sim 0.07$ [fm], heavy ud quark $\frac{m_\pi}{m_\rho} \sim 0.6$
- T=174–464 MeV

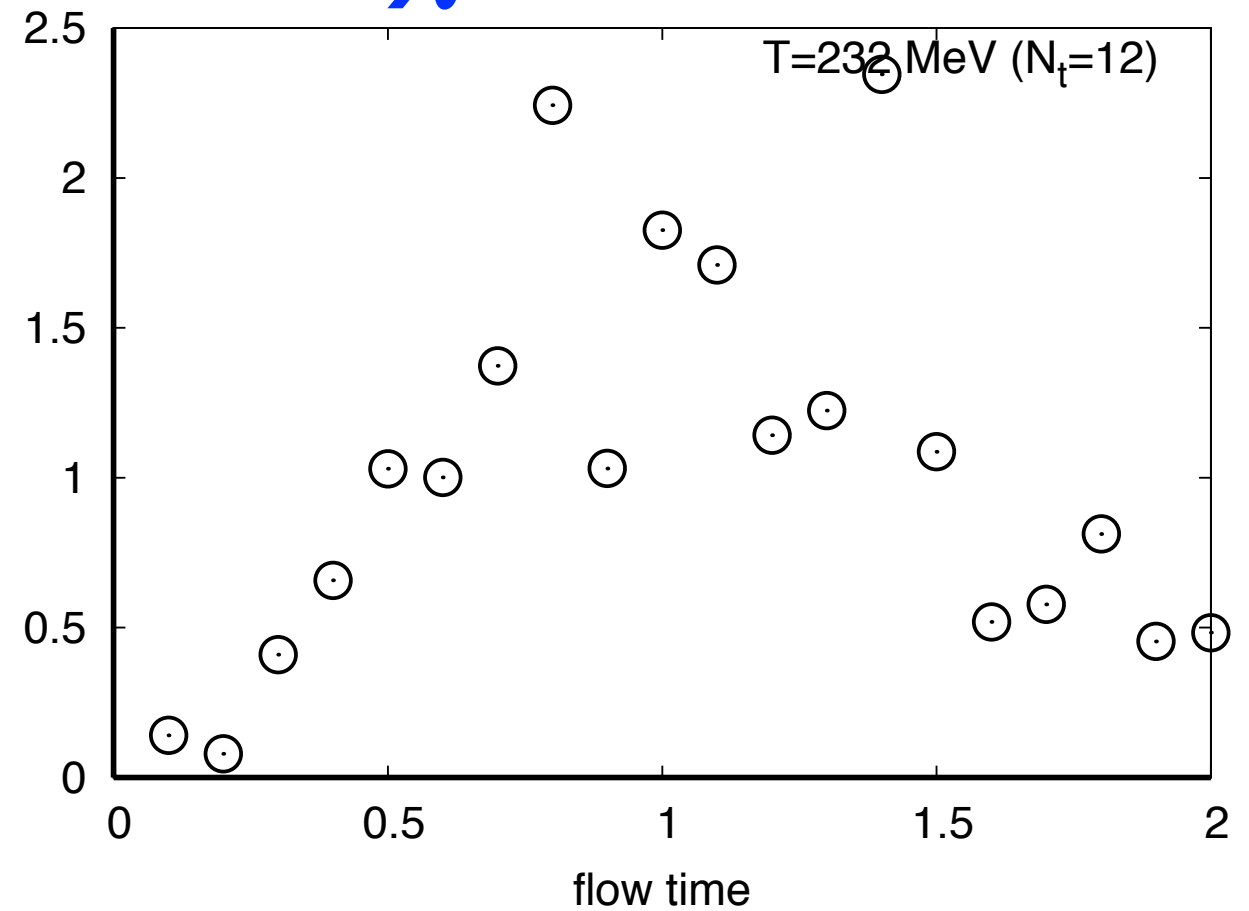
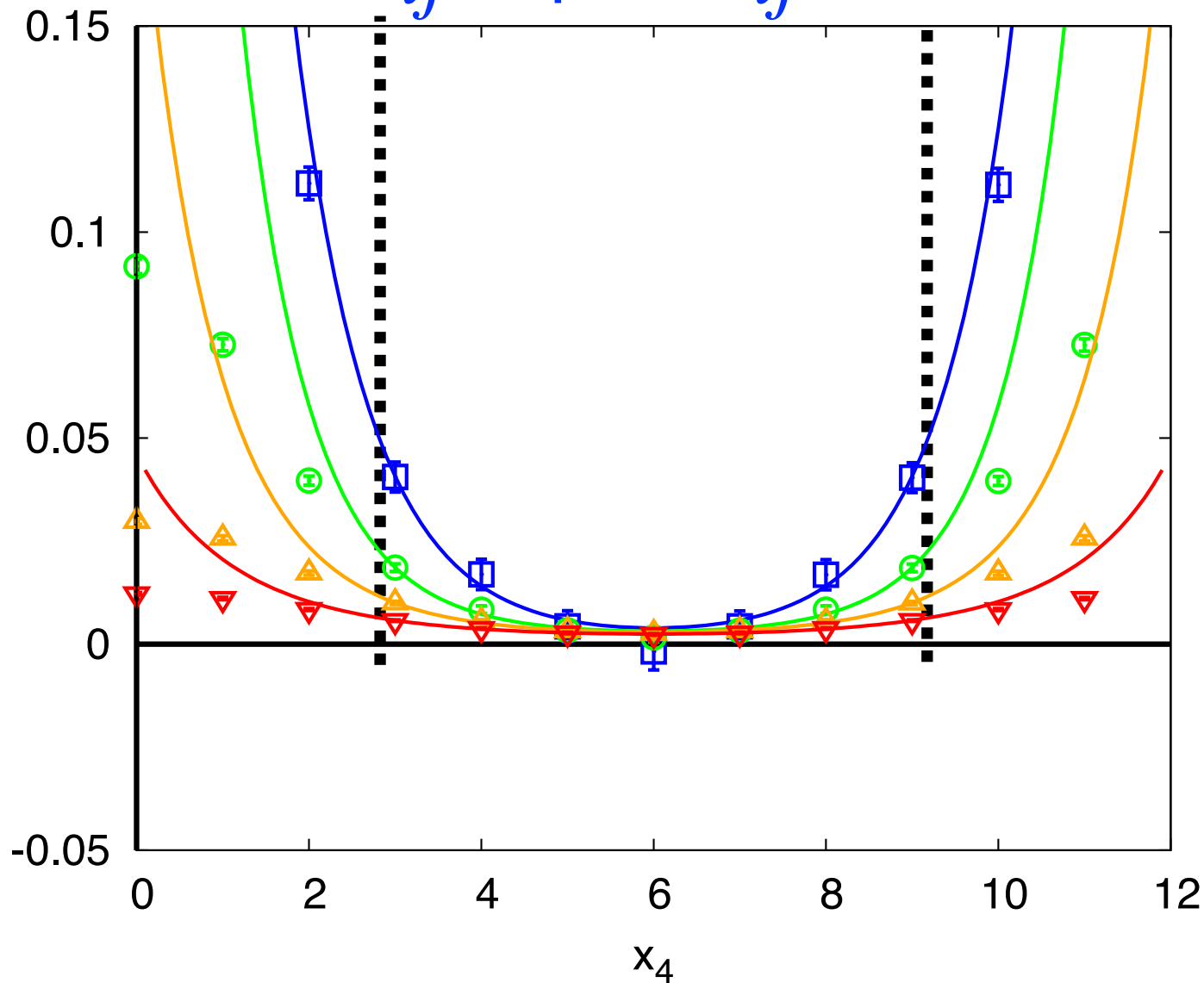
Shear viscosity

Breit-Wigner ansatz

T=232 MeV (N_t=12)

$$\langle \Delta T_{ij}(x_4) \Delta T_{ij}(0) \rangle$$

$$\chi^2/\text{dof}$$



flow time=0.5  flow time=1.5 
 flow time=1.0  flow time=2.0 

$$\frac{\rho(\omega)}{\omega} = \frac{F}{1 + b^2(\omega - \omega_0)^2} + \frac{F}{1 + b^2(\omega + \omega_0)^2}$$

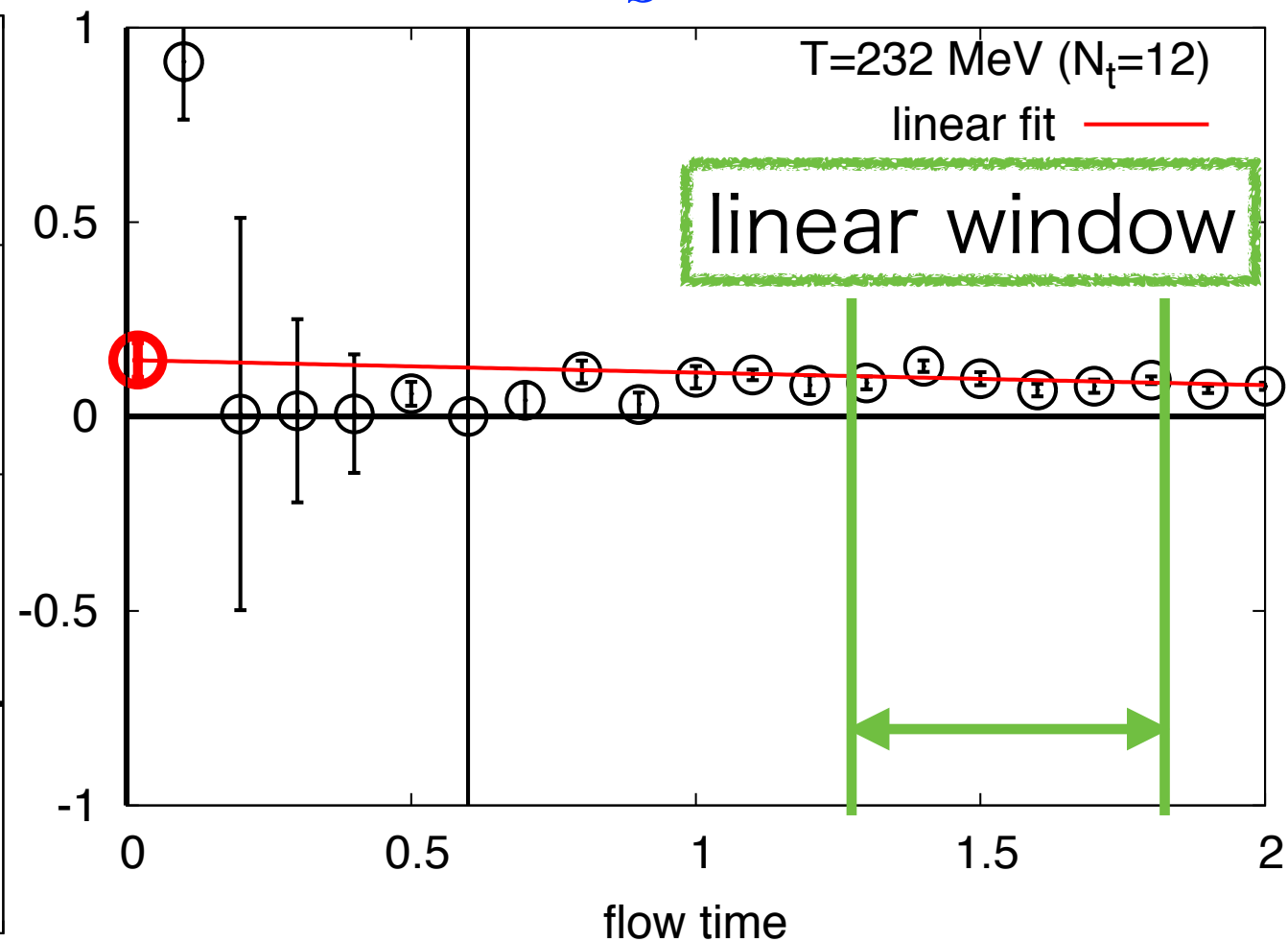
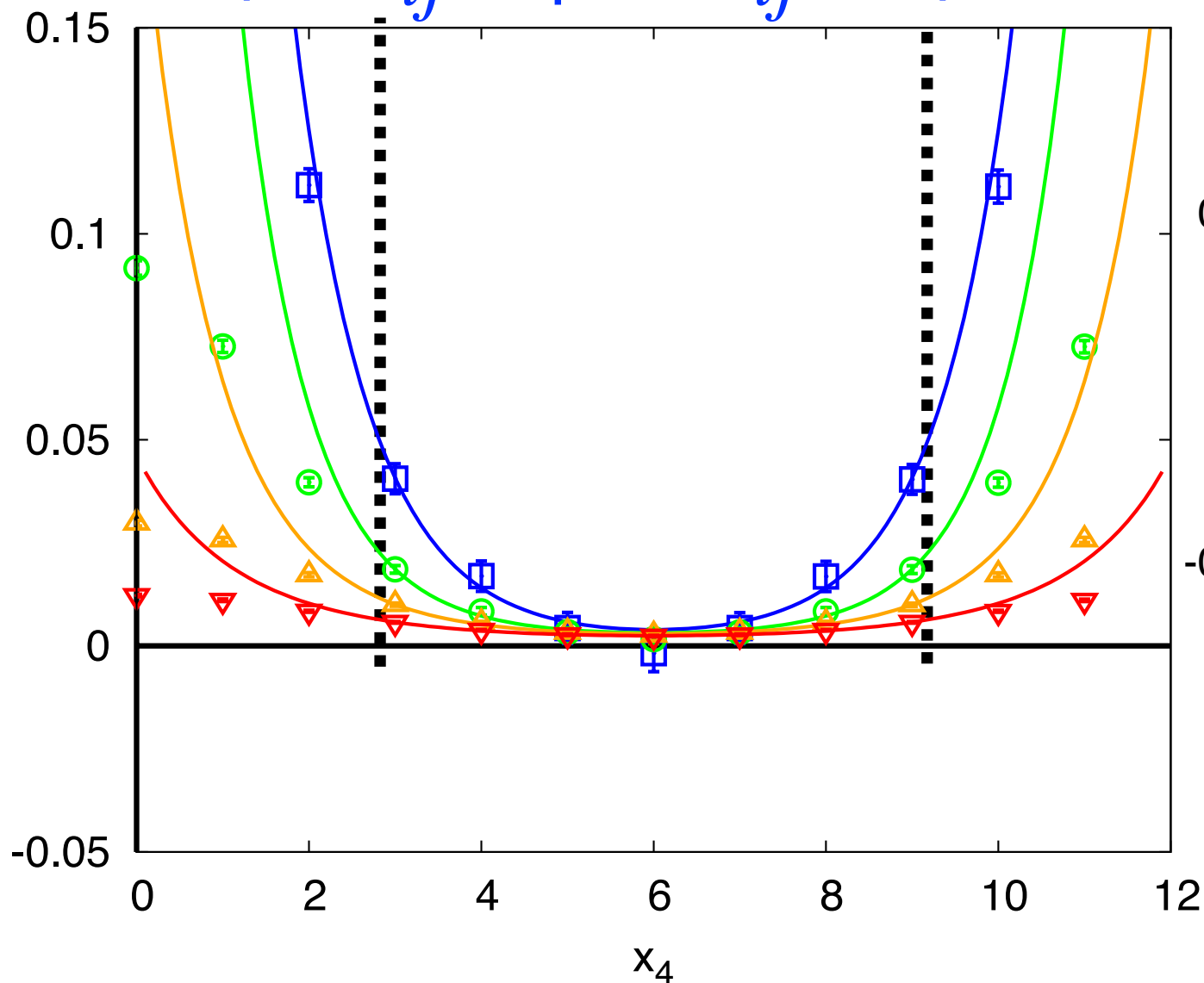
Shear viscosity

Breit-Wigner ansatz

T=232 MeV (N_t=12)

$$\langle \Delta T_{ij}(x_4) \Delta T_{ij}(0) \rangle$$

$$\frac{\eta}{s} = \frac{F}{1 + b^2 \omega_0^2}$$



flow time=0.5 ■ flow time=1.5 ▲
 flow time=1.0 ● flow time=2.0 ▼

$$\frac{\eta}{s} = 0.145(51)$$

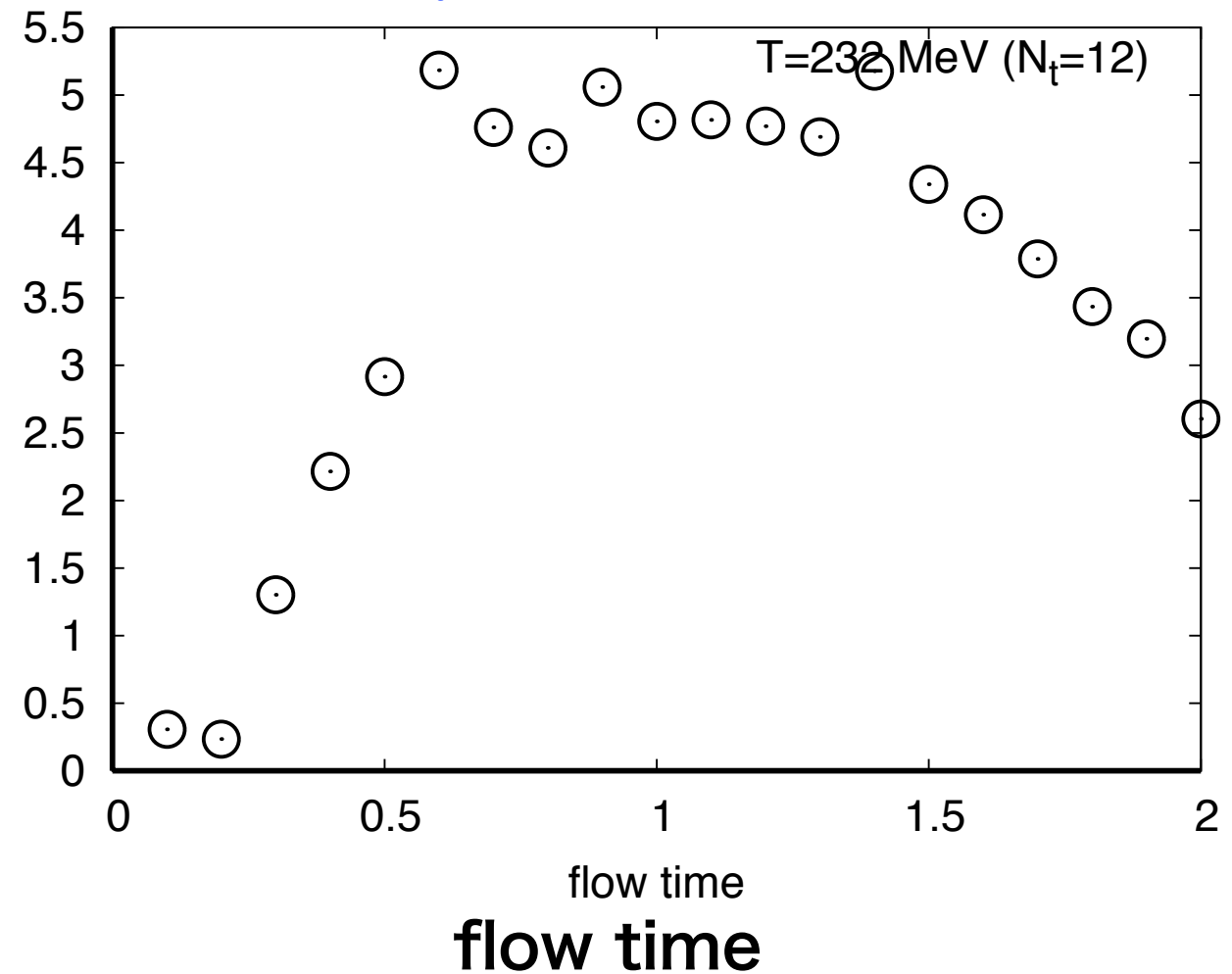
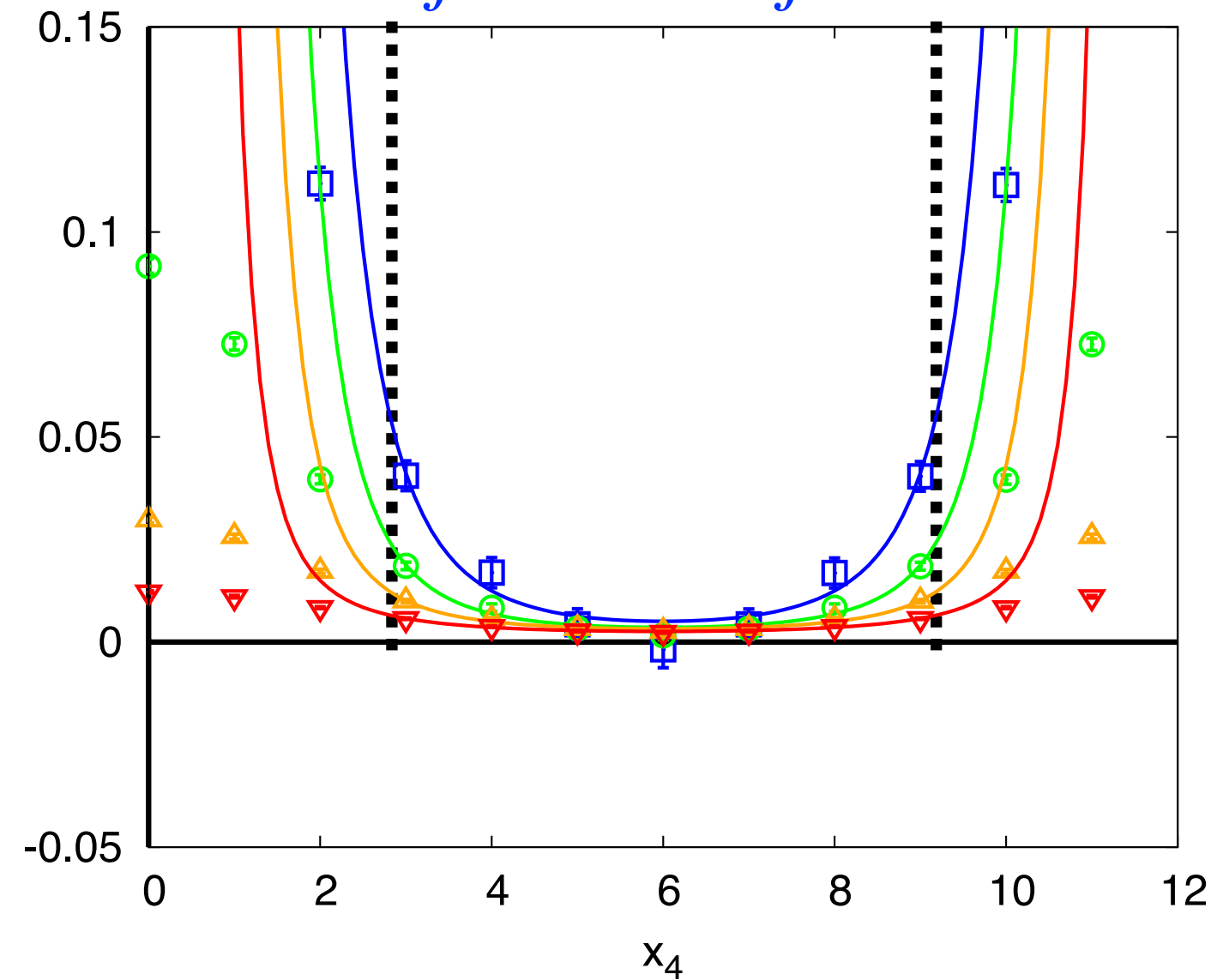
Shear viscosity

Hard thermal loop ansatz

T=232 MeV (N_t=12)

$$\langle \Delta T_{ij}(x_4) \Delta T_{ij}(0) \rangle$$

$$\chi^2/\text{dof}$$



flow time=0.5 —■— flow time=1.5 —▲—
 flow time=1.0 —○— flow time=2.0 —▼—

$$\frac{\rho(\omega)}{\omega} = \frac{2\eta}{1 + b^2\omega^2} + \theta(\omega - \omega_0) \frac{A\omega^3}{\tanh \frac{\omega}{4T}}$$

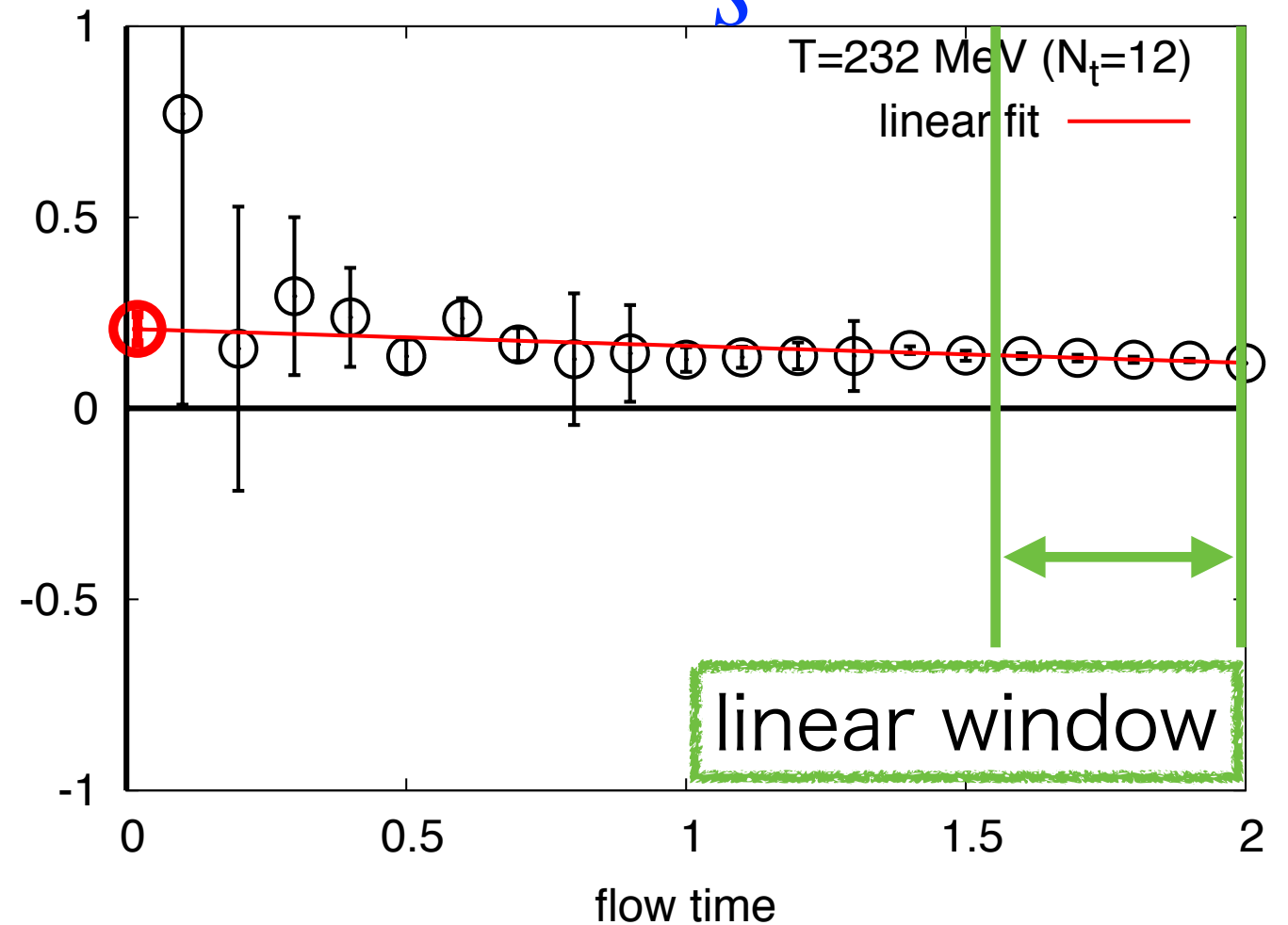
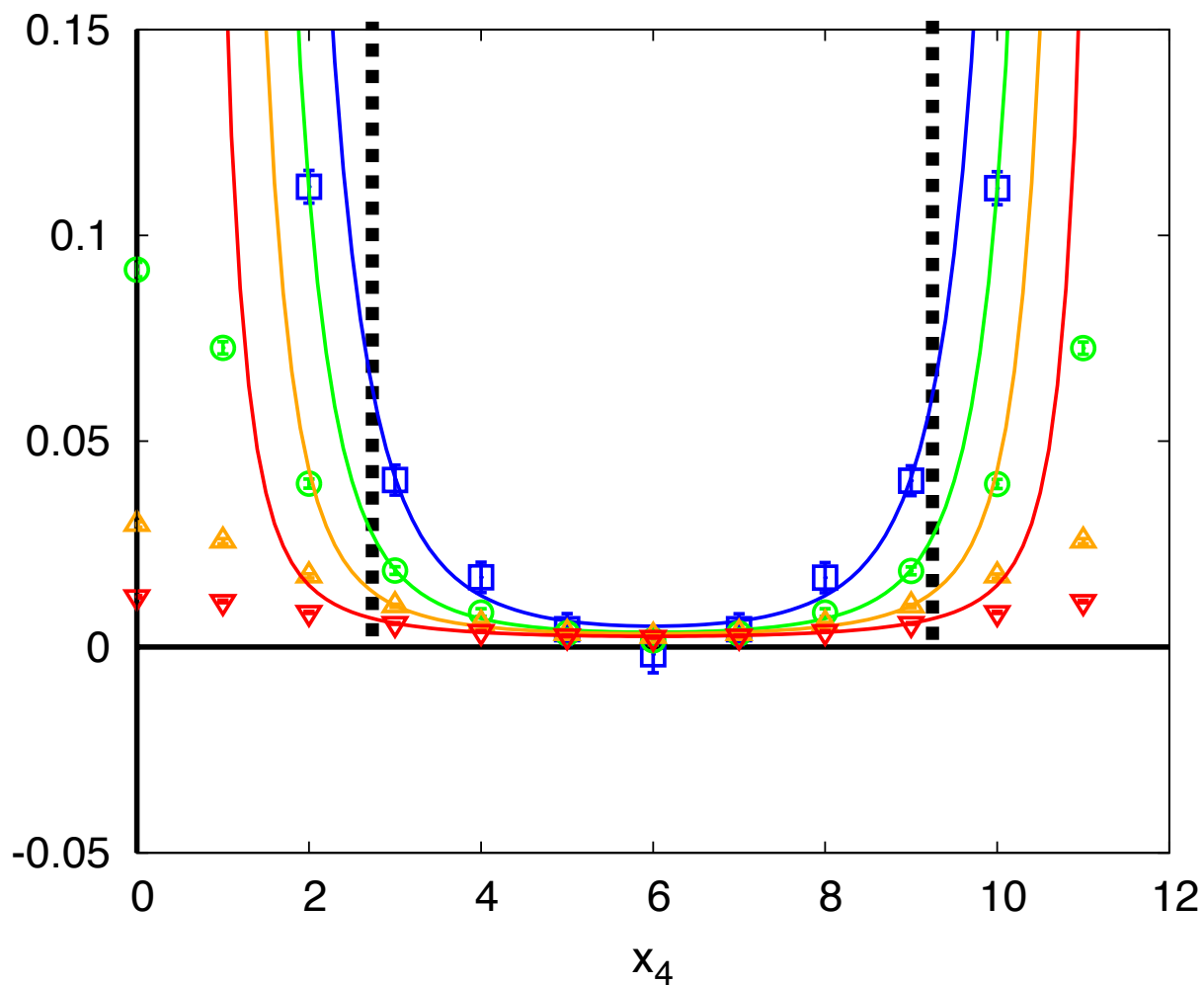
Shear viscosity

Hard thermal loop ansatz

T=232 MeV (N_t=12)

$$\langle \Delta T_{ij}(x_4) \Delta T_{ij}(0) \rangle$$

$$\frac{\eta}{s}$$



flow time=0.5 —□— flow time=1.5 —△—
 flow time=1.0 —○— flow time=2.0 —▽—

$$\frac{\eta}{s} = 0.208(38)$$

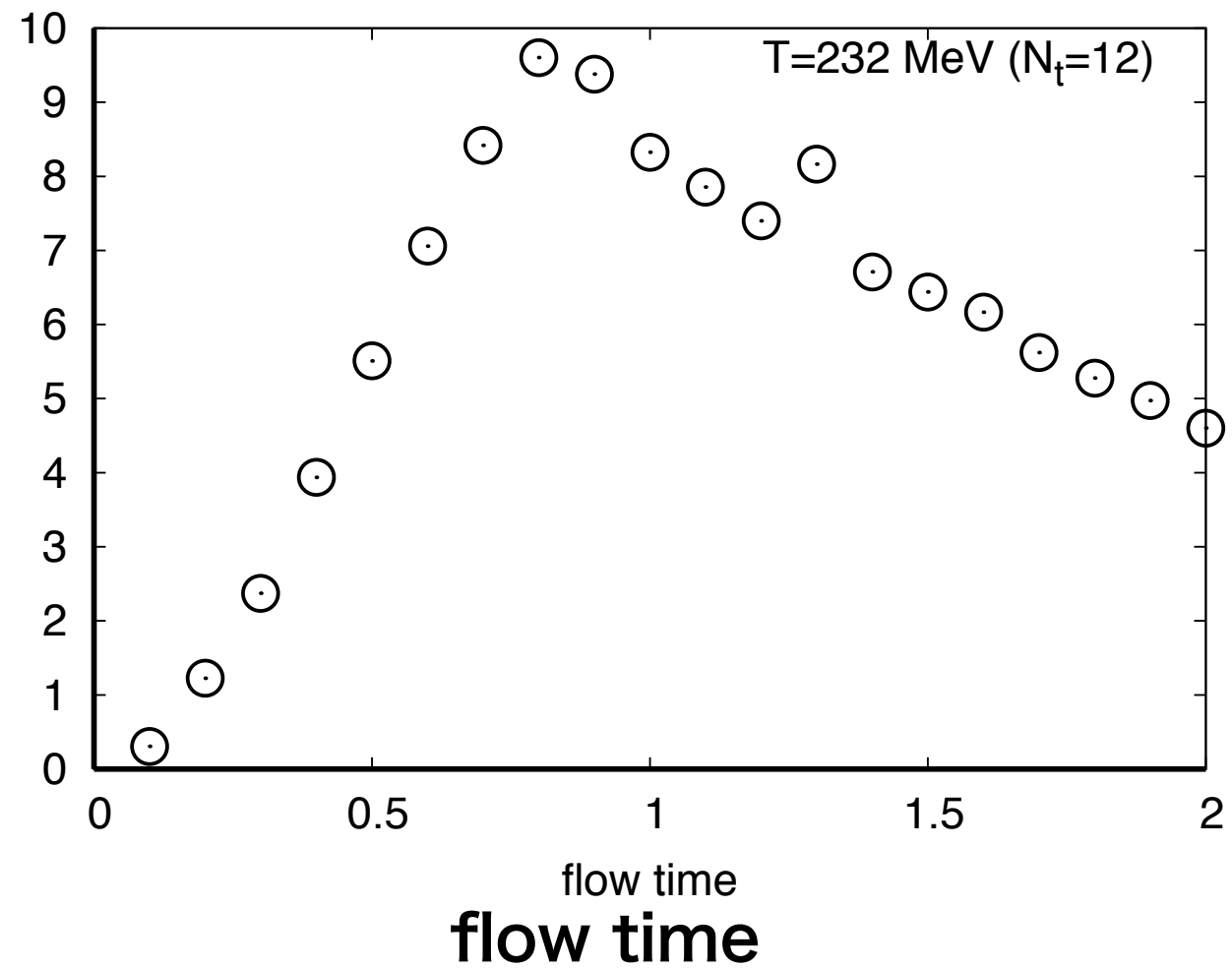
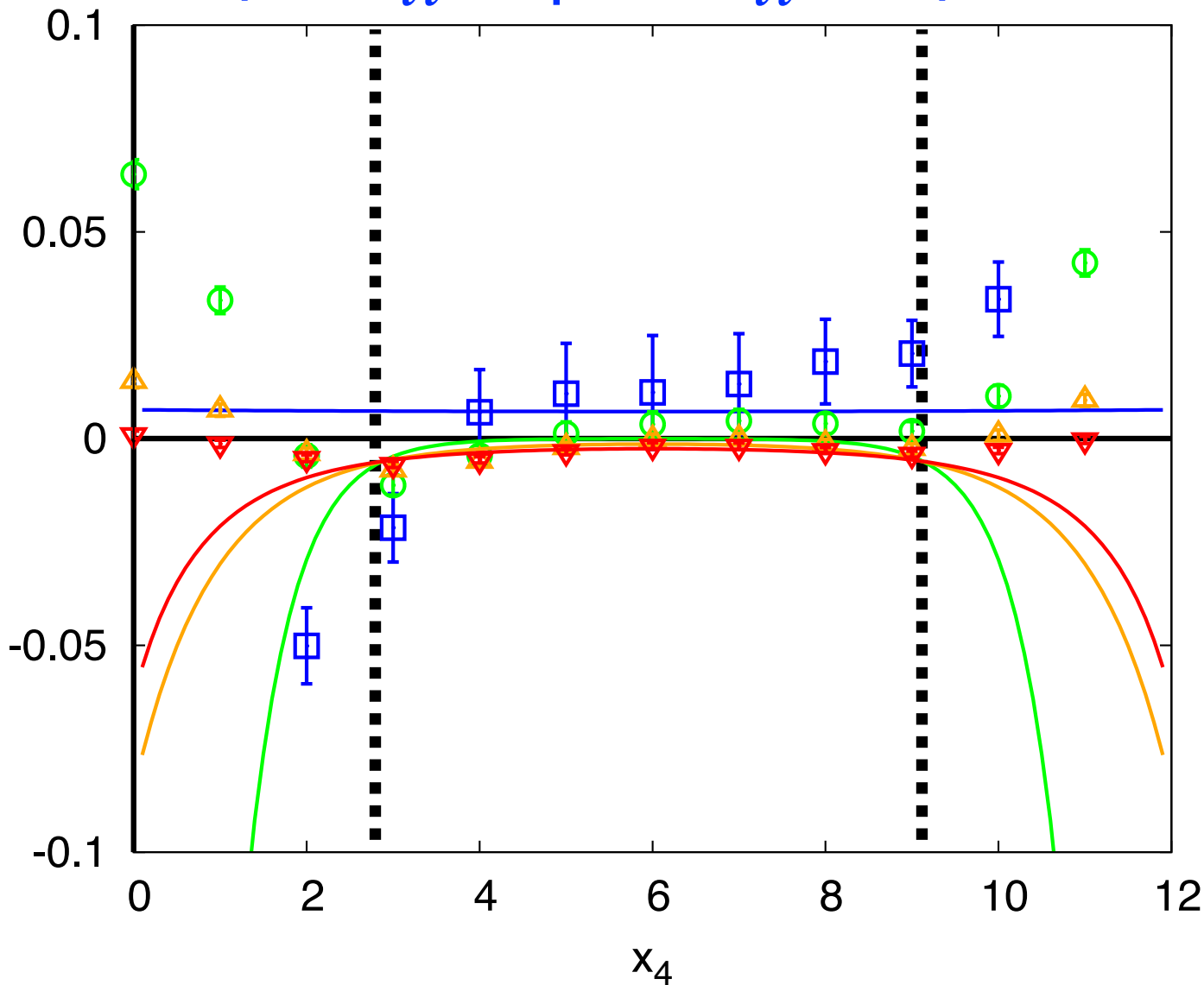
Bulk viscosity

Breit-Wigner ansatz

T=232 MeV (N_t=12)

$$\langle \Delta T_{ii}(x_4) \Delta T_{ii}(0) \rangle$$

$$\chi^2/\text{dof}$$



flow time=0.5 —■—
flow time=1.0 —○—

flow time=1.5 —△—
flow time=2.0 —▽—

$$\frac{\rho(\omega)}{\omega} = \frac{F}{1 + b^2(\omega - \omega_0)^2} + \frac{F}{1 + b^2(\omega + \omega_0)^2}$$

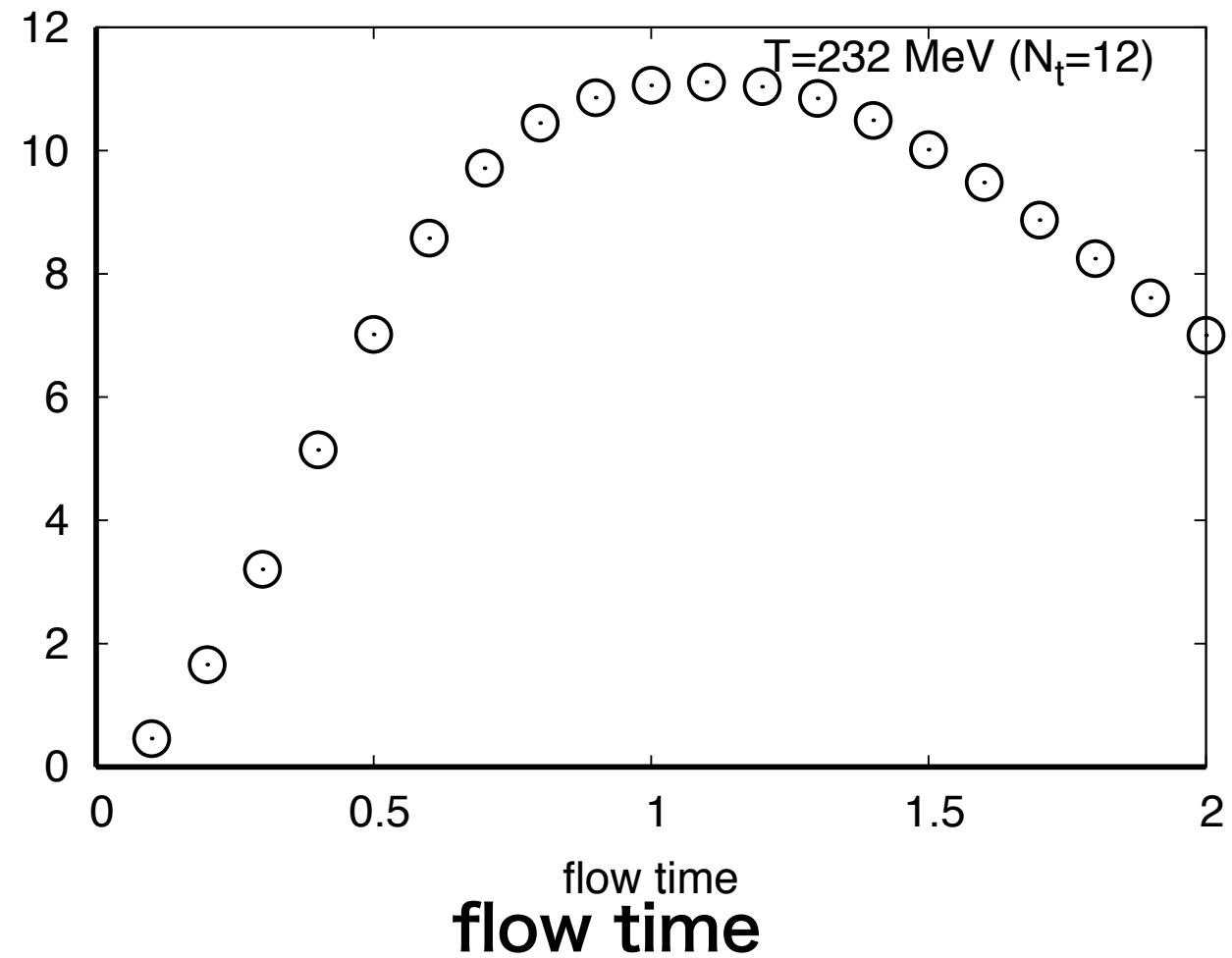
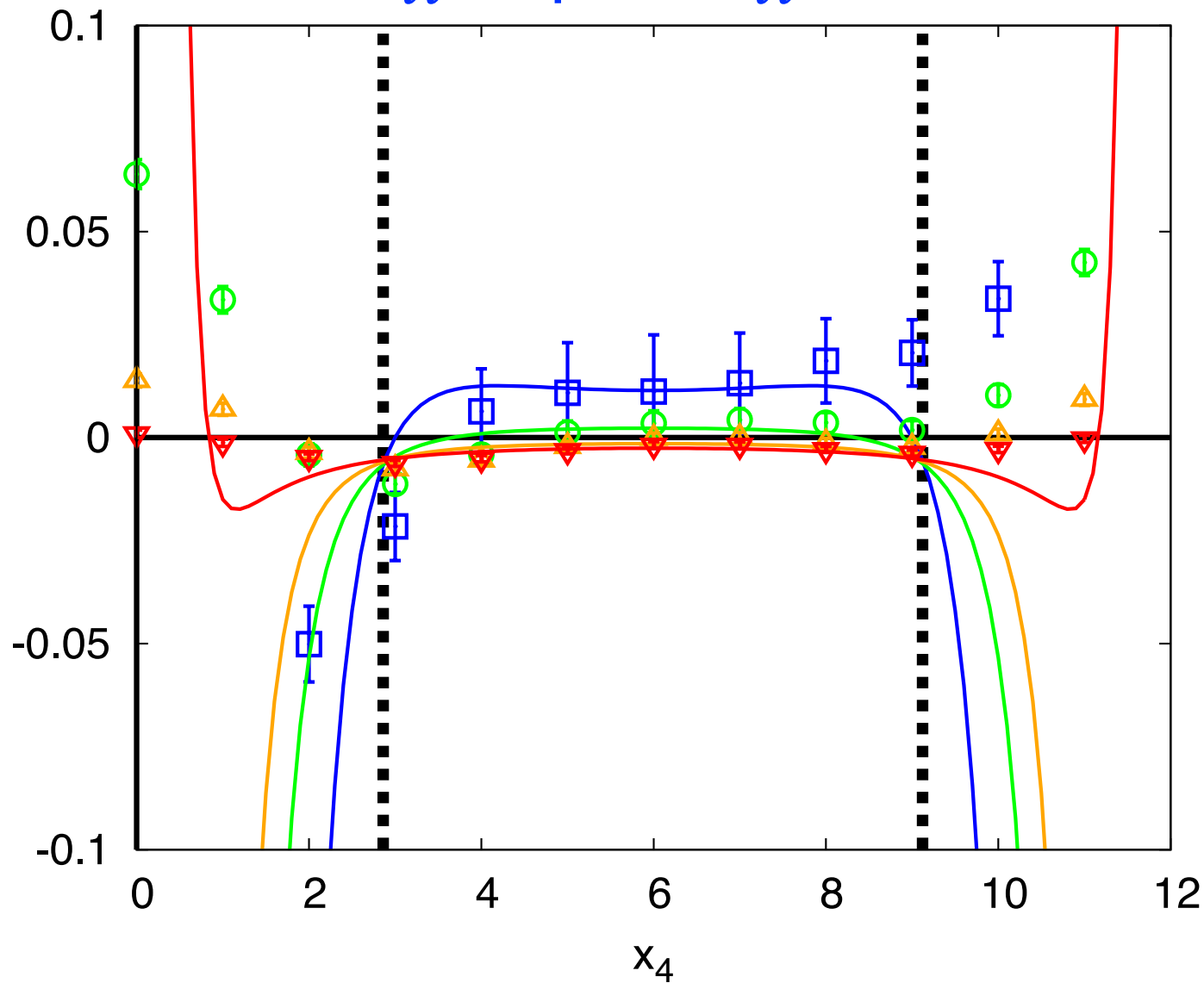
Bulk viscosity

Hard thermal loop ansatz

T=232 MeV (N_t=12)

$$\langle \Delta T_{ii}(x_4) \Delta T_{ii}(0) \rangle$$

$$\chi^2/\text{dof}$$

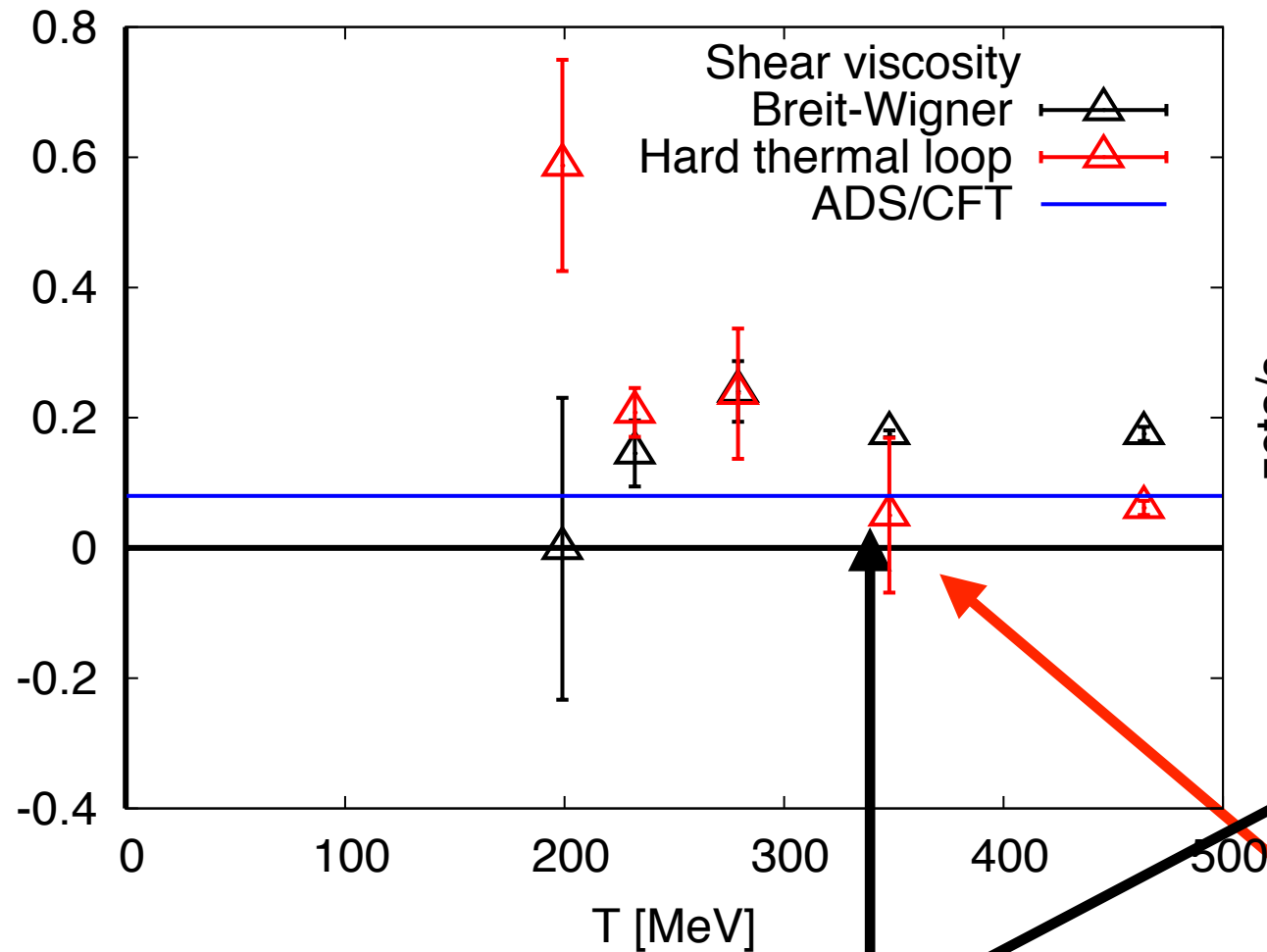


flow time=0.5 —■— flow time=1.5 —▲—
 flow time=1.0 —○— flow time=2.0 —▽—

$$\frac{\rho(\omega)}{\omega} = \frac{2\eta}{1 + b^2\omega^2} + \theta(\omega - \omega_0) \frac{A\omega^3}{\tanh \frac{\omega}{4T}}$$

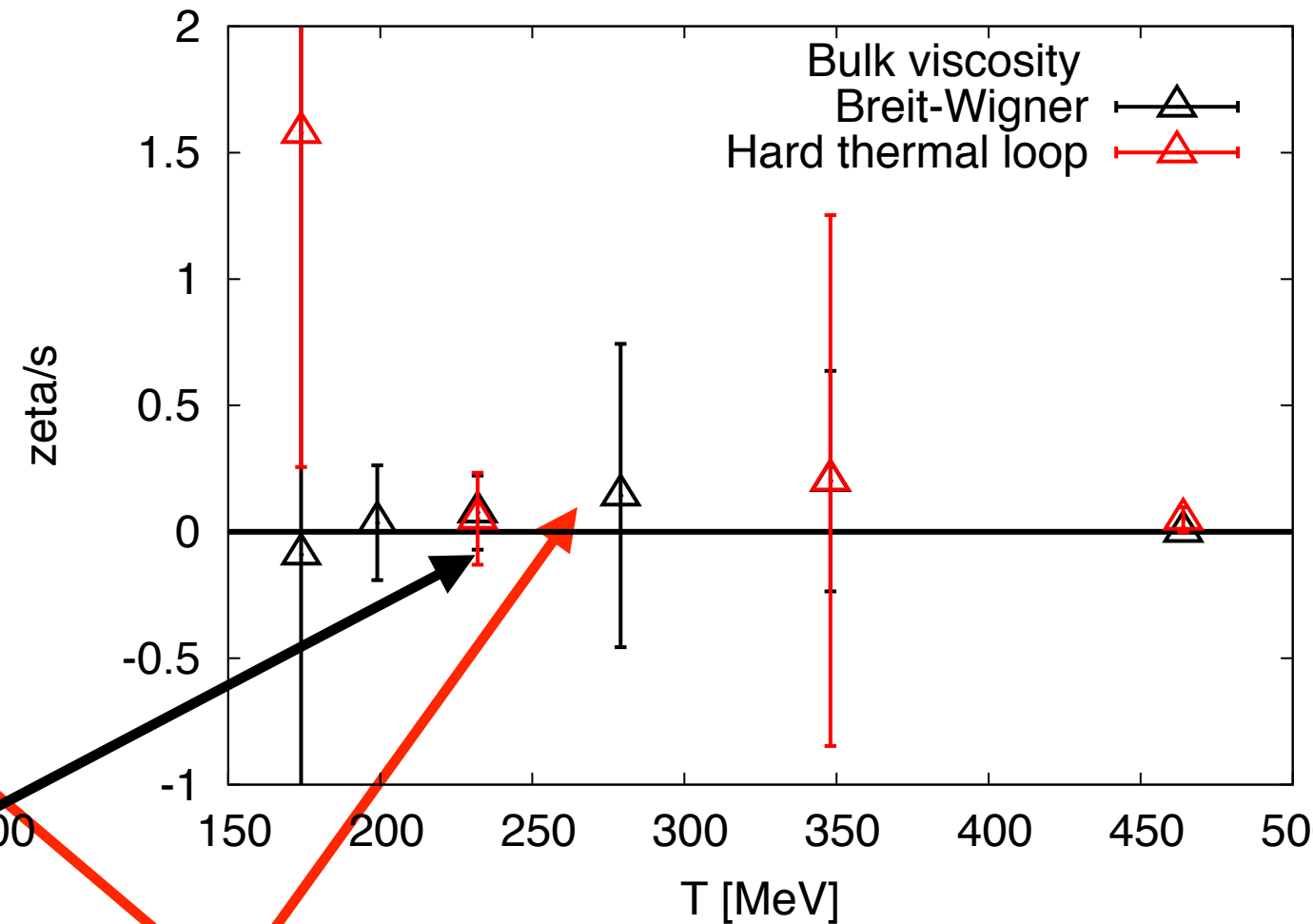
Viscosity as a function of temperature

Shear viscosity



Breit-Wigner fit ansatz

Bulk viscosity



Hard thermal loop fit ansatz

Summary

粘性係数もなんとかなりそう！？

preliminary! $\frac{\eta}{s} = 0.145(51)$ T=232 MeV (Nt=12)

AdS/CFT: $\frac{\eta}{s} \sim \frac{1}{4\pi} \sim 0.08$

将来計画

- 統計数を増やす
- 最大エントロピー法
- Backus-Gilbert法

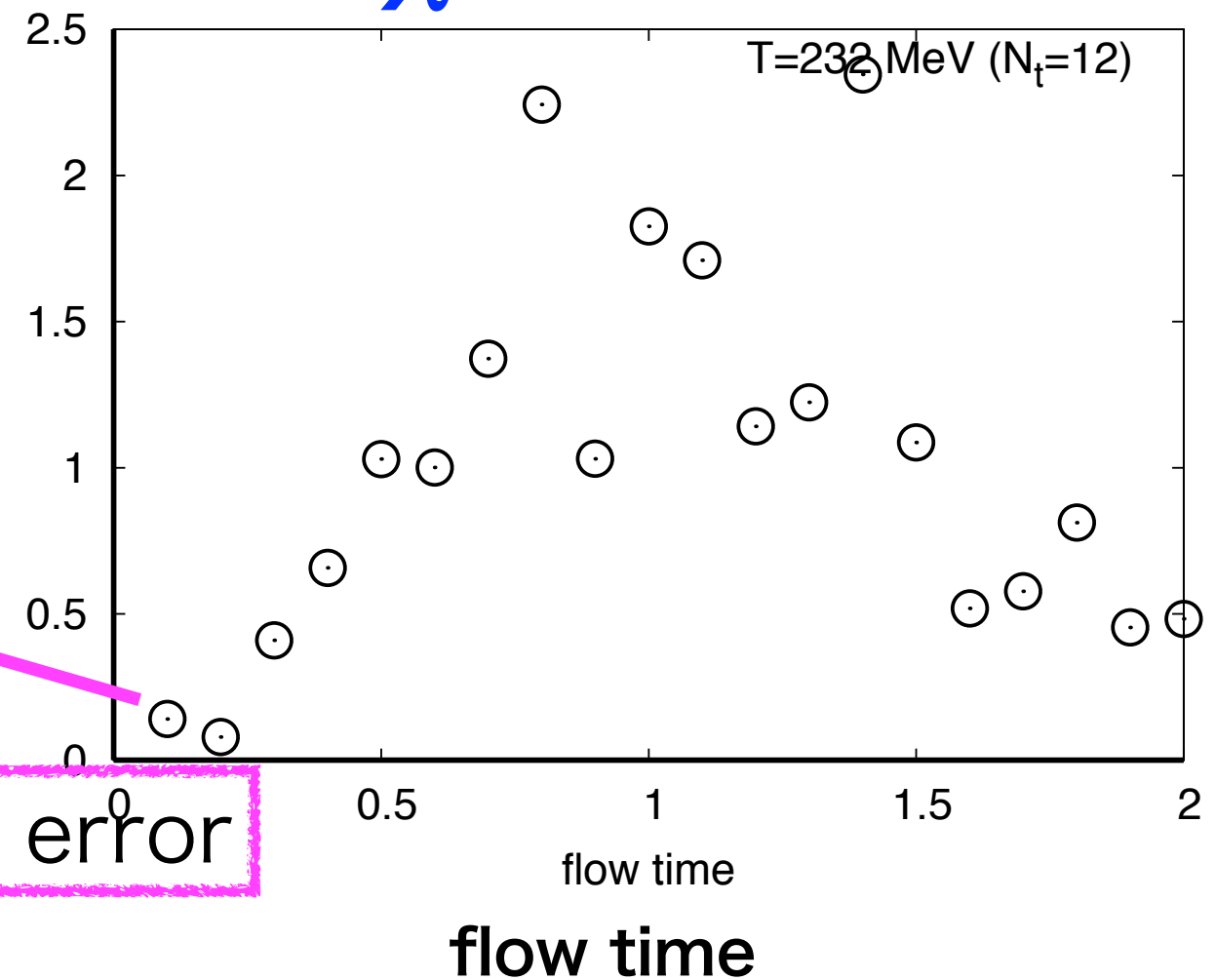
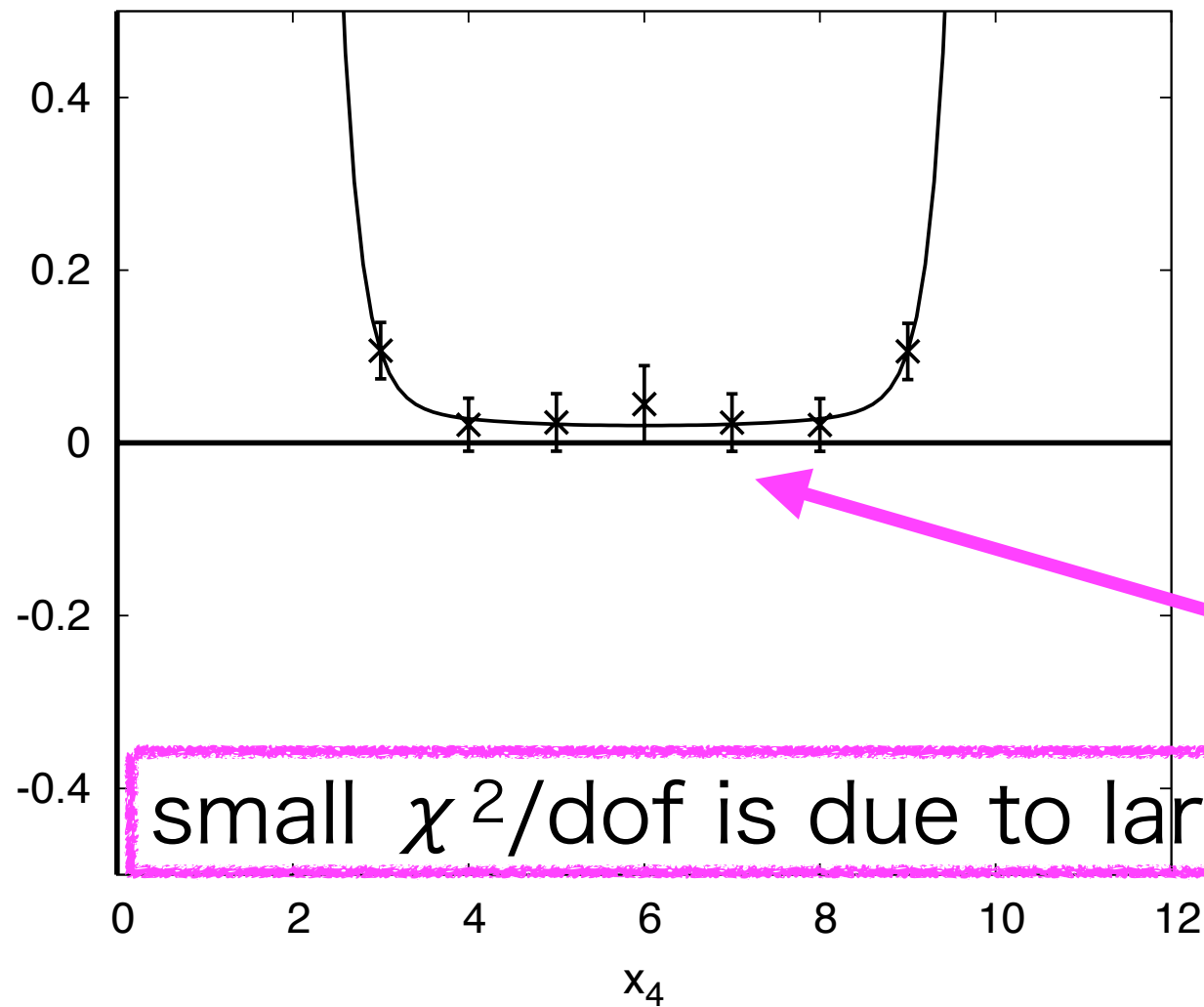
Shear viscosity

Breit-Wigner ansatz

T=232 MeV (N_t=12)

$$\langle \Delta T_{ij}(x_4) \Delta T_{ij}(0) \rangle$$

$$\chi^2/\text{dof}$$



small χ^2/dof is due to large error

$$\frac{\rho(\omega)}{\omega} = \frac{F}{1 + b^2(\omega - \omega_0)^2} + \frac{F}{1 + b^2(\omega + \omega_0)^2}$$